

INSTITUTO POLITÉCNICO NACIONAL

Escuela Superior de Ingeniería Mecánica y Eléctrica  
Unidad Azcapotzalco  
Sección de Estudios de Posgrado e Investigación

# INESTABILIDADES PARAMÉTRICAS DE ONDAS EN FLUIDOS.

T E S I S

Para obtener el grado de:

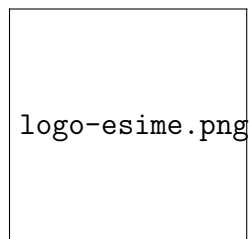
DOCTORADO EN CIENCIAS EN INGENIERÍA  
MECÁNICA

Presentada por:

M.Sc. Franklin W. Peña-Polo

DIRECTORES:

Dr. Ignacio Carvajal  
Dr. Leonardo Sigalotti



Ciudad de México, Agosto de 2019

# Contents

# List of Figures

# List of Tables

# 1 Introducción

2 Cuando un líquido contenido en un recipiente es sometido a vibraciones verticales,  
3 a menudo se observa un patrón de ondas estacionarias no-lineales sobre la superficie  
4 del mismo. Estas ondas, conocidas como *ondas de Faraday* o *inestabilidades de Faraday*  
5 *[?, ?]* se ven paramétricamente excitadas en el momento en el que las vibraciones  
6 verticales superan una cierta frecuencia crítica o aceleración crítica. Michael Faraday  
7 *[?]* se percató de que estas ondas en la superficie del líquido son sub-armónicos  
8 de la frecuencia de oscilación al que es sometido el recipiente, mas exactamente que  
9 la superficie oscilaba a la mitad de la frecuencia de excitación. Experimentos re-  
10 cientes, en donde se emplea una y hasta dos frecuencias de forzamiento han puesto  
11 de manifiesto que no sólo se pueden formar patrones espacialmente regulares de lin-  
12 eas paralelas, cuadrados, círculos y hexágonos, sino también simetrías mucho más  
13 complejas, lo que hace que la comprensión de estos tipos de patrones resulten ser un  
14 reto *[?, ?, ?, ?, ?, ?, ?, ?]*. El umbral para el cual se hace presente la inestabilidad y los  
15 patrones observados dependen de la viscosidad y la tensión superficial del líquido, la  
16 aceleración de la oscilación, la forma y el tamaño del contenedor..

17 La descripción matemática del problema está dada por las ecuaciones de Navier-  
18 Stokes en un dominio con una superficie libre; y la debido a la frecuencia de ex-  
19 citación este se convierte en un problema no autónomo. En matemáticas, un sis-  
20 tema no autónomo es un sistema de ecuaciones diferenciales ordinarias que depende  
21 explícitamente de la variable independiente. En este caso, la variable no autónoma  
22 resulta ser el forzamiento externo que influye en los parámetros de fluido cuando  
23 el comportamiento oscilante ha iniciado. Por otro lado, el mecanismo de selección  
24 de parámetros ha sido investigado empleando herramientas de simetría y teoría de  
25 bifurcaciones *[?, ?, ?]*. Una teoría lineal de las inestabilidades de Faraday ha sido  
26 desarrollada por Benjamin y Ursell *[?]*, quienes plantearon que el problema se puede

27 reducir a un conjunto de osciladores de Mathieu. Sin embargo, este análisis se basa  
 28 en la aproximación de flujo potencial, que se limita a líquidos no viscosos. En el  
 29 caso de líquidos viscosos el análisis requeriría de la adición teórica de un término de  
 30 amortiguamiento viscoso. La inclusión de este término se ha utilizado recurrente-  
 31 mente en una serie de análisis lineales [?, ?, ?, ?]. No obstante, esta aproximación  
 32 ignora las capas límites viscosas a lo largo de las paredes del recipiente y por debajo  
 33 de la superficie, donde se produce disipación adicional. Estos efectos generalmente  
 34 son tratados mediante la adición de un amortiguamiento heurístico en la ecuación de  
 35 Mathieu [?], el cual es proporcional a la viscosidad cinemática.

36 Los esfuerzos por comprender las ondas de Faraday, han dado lugar a la aparición  
 37 de simulaciones numéricas, que implican la solución de las ecuaciones de Navier-Stokes  
 38 acopladas a un método de seguimiento frontal para el tratamiento de la superficie libre  
 39 [?, ?]. En todos estos cálculos se asume que la superficie del líquido es perfectamente  
 40 plana en el borde de las paredes laterales, donde no hay deslizamiento y se aplican  
 41 condiciones de borde periódicas [?]. En general, debido a que el sistema es vibrado, la  
 42 aceleración efectiva de la gravedad varía, ocasionando que la longitud del menisco se  
 43 alterne de grande a pequeña y viceversa. Con el fin de garantizar la conservación de  
 44 la masa del fluido, las ondas de superficie son emitidas desde las paredes laterales del  
 45 recipiente a la frecuencia de excitación. No obstante, estas simulaciones numéricas  
 46 no tienen en cuenta el realismo de los experimentos, donde la dinámica del menisco  
 47 es importante [?]. Por otra parte, la disipación viscosa es la principal causante del  
 48 amortiguamiento de estas ondas capilares a lo largo de la superficie del fluido.

49 En recipientes pequeños existe un fuerte acoplamiento entre las ondas capilares  
 50 generadas por el menisco y las ondas de Faraday, donde las ondas capilares se ex-  
 51 tienden por toda la superficie del líquido. Observaciones experimentales recientes en  
 52 recipientes cilíndricos de pequeños diámetros indican que se requiere un incremento  
 53 del umbral de aceleración para lograr generar ondas de Faraday [?]. En analogía con  
 54 los resultados experimentales para recipientes pequeños individuales a la escala de  
 55 centímetros, también se ha observado la formación de patrones regulares sobre una  
 56 red cuadrada de celdas [?]. Luego de un breve estado transitorio, justo por encima  
 57 del umbral de Faraday, las celdas adyacentes se sincronizan para formar retículos  
 58 regulares de forma cuadrada sobre toda la red, cuya orientación con respecto a la  
 59 rejilla depende de una gama de frecuencias de excitación. Los experimentos de Delon

60 y colaboradores [?] proporcionan una visión cualitativa de las ondas de superficie  
61 forzadas paramétricamente.

62 Las ondas de Faraday representan un sistema experimental atractivo y oportuno  
63 debido a que poseen numerosos parámetros de control. Además, representan un  
64 ejemplo canónico de como se forman patrones espacio-temporales a través de una  
65 inestabilidad paramétrica. Las fluctuaciones en la frecuencia y amplitud de la fuerza  
66 de forzamiento pueden propiciar la transición de un patrón existente bien definido a  
67 un estado mixto con una fracción de caos espacio-temporal [?, ?]. La escala de tiempo  
68 para la formación de patrones es típicamente mucho más rápida y fácil de obtener que  
69 para otros sistemas canónicos, tales como la convección de Rayleigh-Bénard [?, ?] o  
70 la inestabilidad de Taylor-Couette [?, ?]. Por consiguiente, el estudio de las ondas de  
71 Faraday constituye una manera ventajosa para explorar fenómenos no-lineales más  
72 complejos por medio de un dispositivo experimental simple.

73 En este trabajo se propone estudiar los patrones de ondas de Faraday que surgen  
74 cuando se somete a vibraciones verticales un líquido confinado a un contenedor y  
75 en un reticulado parcialmente lleno compuesto de pequeñas celdas con diferentes  
76 geometrías y su dependencia con la frecuencia, la amplitud de las vibraciones y las  
77 geometrías de las celdas. Esto con el objetivo de caracterizar el comportamiento del  
78 fluido sometido a vibraciones para su aplicación en la vaporización ultrazónica de  
79 gotas líquidas. Con esta finalidad se propone: 1) Variar los rangos de frecuencias  $F$   
80 y amplitudes  $A$  de la fuerza excitadora; 2) Realizar un barrido más fino del espacio  
81 de parámetros  $(A, F)$  para determinar y definir la posible existencia de regiones que  
82 separen la formación sincronizada de patrones regulares; 3) Proporcionar un marco  
83 cuantitativo de las ondas paraméricamente excitadas en la superficie del fluido para  
84 determinar su espectro de frecuencias; y 4) Realizar un análisis detallado utilizando  
85 la relación de dispersión de las ondas de Faraday para el forzamiento y la disipación.

86

## 87 Antecedentes

88 En el año 1831, M. Faraday, motivado por los trabajos realizados por Oersted, Wheat-  
89 stone y Weber, reportó en su diario, que al someter a vibraciones verticales a la

superficie de un fluido, éste presenta ondas superficiales que dan lugar a diversos patrones [?]. Faraday notó que estas ondas superficiales presentan una frecuencia de oscilación, la cual es proporcional a un medio de la frecuencia de excitación [?]. Casi cuatro décadas después del descubrimiento de Faraday, Mathiessen cuestionó la afirmación realizada por Faraday acerca de la respuesta sub-armónica del sistema a las vibraciones verticales [?]. Tal controversia motivó a Lord Rayleigh a realizar sus propias observaciones [?], reproduciendo así el experimento, y pudiendo corroborar los resultados obtenidos por Faraday.

La naturaleza sub-armónica de la inestabilidad fue finalmente verificada de forma teórica, con el uso de las ecuaciones de la hidrodinámica, por Benjamin y Ursell [?], quienes desarrollaron una teoría lineal, confirmando el punto de vista de Faraday y Rayleigh [?, ?]. El estudio teórico mas extenso del problema de estabilidad ha requerido del uso de simulaciones numéricas, lo que dificulta muchas veces la interpretación y comprensión física. Una expresión analítica para la excitación de los modos sub-armónicos de las ondas de Faraday la obtuvo Müller *et al.* [?], la cual es aplicable a un amplio rango de frecuencias, abarcando tanto ondas de gravedad en aguas someras como ondas capilares en aguas profundas. Si bien este análisis es aplicable en el límite de una disipación débil, un tratamiento analítico en el límite opuesto lo llevó a cabo Cerda y Tirapegui [?]. Por otra parte, los aspectos lineales de la inestabilidad de Faraday estudiados desde el trabajo de Benjamin y Ursell fueron revisados por Müller [?]. No fue hasta hace muy poco tiempo que las primeras simulaciones numéricas de la dinámica de las ondas de Faraday comenzaron a aparecer en la literatura [?, ?], que implica la solución completa de las ecuaciones de Navier-Stokes en tres dimensiones. En particular, algunas simulaciones reproducen patrones cuadrados y hexagonales [?, ?].

En los últimos años, se han realizado numerosos estudios experimentales sobre las ondas de Faraday [?] obteniéndose una enorme cantidad de datos experimentales, lo que ha generado un particular interés teórico en el problema [?, ?]. Dependiendo de la amplitud o la frecuencia de excitación, la viscosidad del fluido y la geometría del contenedor, el fluido puede exhibir ondas estacionarias que forman patrones en su superficie [?, ?]. Los experimentos con una y dos frecuencias de forzamiento muestran que no sólo se pueden formar patrones espacialmente regulares de líneas paralelas,



122 cuadros, círculos y hexágonos, sino también, se pueden formar simetrías más com-  
 123 plejas tales como cuasi-patrones, patrones de superlattice, y oscilones [?, ?]. Por otra  
 124 parte, los mecanismos de selección del patrón han sido investigados utilizando her-  
 125 ramientas de simetría y teoría de bifurcación [?, ?], debido a que la ruptura de la  
 126 simetría es una consecuencia del acoplamiento no-lineal entre las ondas de superficie.  
 127

128 Mientras casi todos los experimentos clásicos sobre patrones en ondas de Fara-  
 129 day se refieren a recipientes individuales de tamaños y formas variadas, Delon y  
 130 colaboradores [?] observaron la formación de patrones regulares, en el caso en que la  
 131 interfaz líquido-aire estaba dividida por un reticulado compuesto de pequeñas celdas  
 132 cuadradas. Notando que luego de un estado transitorio, justo por encima del umbral  
 133 de Faraday, se observa que las celdas vecinas colaboran sincronizadamente para for-  
 134 mar un pico de líquido en sus intersecciones comunes, dando así lugar a un retículo  
 135 cuadrado regular. En particular, para contenedores de pequeño tamaño, existe un  
 136 fuerte acoplamiento entre las ondas capilares generadas por el menisco y las ondas  
 137 de Faraday [?, ?].

138 A pesar de los notables avances en la comprensión teórica de las ondas de Fara-  
 139 day [?, ?], algunas de sus propiedades fundamentales siguen siendo una interrogante;  
 140 a tal punto que hasta donde se sabe, sorprendentemente la relación de dispersión de  
 141 las ondas de agua paramétricamente forzadas no ha sido aún establecida de forma  
 142 explícita. De hecho, esta relación de dispersión a menudo se establece, de forma incor-  
 143 recta, con la de las ondas superficiales libres no forzadas, en contraste con la evidencia  
 144 experimental que muestra desviaciones significativas [?]. Así pues, un conocimiento  
 145 exacto de la relación de dispersión es de crucial importancia, verbigracia, para ex-  
 146 plorar la posibilidad de acoplamientos de multiondas y en consecuencia, predecir las  
 147 simetrías de patrones en la superficie.

# Chapter 1

## Marco Teórico

### 1.1 Descripción de un fluido

En esta sección plantearemos las ecuaciones fundamentales de la hidrodinámica, necesarias para la descripción del experimento de Faraday [?]. En mecánica de fluidos, las ecuaciones que rigen el comportamiento de un fluido [?, ?, ?], en su forma más general son:

$$\frac{\partial \rho}{\partial t} + \nabla \cdot (\rho \vec{v}) = 0, \quad (1.1)$$

$$\rho \left[ \frac{\partial \vec{v}}{\partial t} + (\vec{v} \cdot \nabla) \vec{v} \right] = \vec{F} - \nabla p + \mu \nabla^2 \vec{v} + \left( \zeta + \frac{1}{3} \mu \right) \nabla (\nabla \cdot \vec{v}). \quad (1.2)$$

La ecuación ?? expresa el principio de la conservación de la materia y se conoce como la ecuación de continuidad, donde  $\rho$  es la densidad del fluido y  $\vec{v} = v_x \hat{i} + v_y \hat{j} + v_z \hat{k}$  la velocidad del flujo. la ecuación ?? combina los principios de conservación de la mecánica y la termodinámica aplicados a un volumen de fluido llamada ecuación de Navier-Stokes, donde  $\vec{F}$  y  $p$  es una fuerza y la presión que actúa sobre el volumen de fluido, respectivamente,  $\mu$  es la viscosidad dinámica y  $\zeta$  es la segunda viscosidad.

En la mayoría de los casos de interés, un líquido convencional, tal como el agua, es incompresible. Un fluido, se dice que es incompresible, cuando la densidad de masa  $\rho$  de un elemento de volumen  $V$  no cambia notablemente con el tiempo, y además, tiene la capacidad de oponerse a la compresión, es decir, el volumen del fluido permanece

166 constante ante las variaciones de la presión, así

$$\frac{d\rho}{dt} = 0. \quad (1.3)$$

167 Generalmente la distribución de densidad inicial de un fluido incompresible es  
168 espacialmente uniforme. Por lo tanto, podemos decir que la distribución de densidad  
169 es constante en el tiempo y uniforme en el espacio.

170 Debido a que el término relacionado con la segunda viscosidad resulta de mayor  
171 importancia en casos tales como fluidos compresibles, ondas de choque, propagación  
172 de sonido en un fluido Newtoniano como el de la ley de Stokes de la atenuación del  
173 sonido [?, ?, ?], podemos omitir este.

174 Suponiendo que la fuerza  $\vec{F}$  que actúa sobre el volumen de fluido, presente en la  
175 ecuación ??, es de naturaleza conservativa, es decir,

$$\vec{F} = -\rho \nabla \Psi, \quad (1.4)$$

176 donde  $\Psi$  es la energía potencial por unidad de masa y  $\rho \Psi$  es la energía potencia por  
177 unidad de volumen. Además, si asumimos que en seno del fluido no existen fuertes  
178 variaciones de temperatura, podemos suponer que la viscosidad es espacialmente  
179 uniforme, de tal manera que la ecuación de Navier-Stokes para un fluido incompresible  
180 se reduce a

$$\rho \left[ \frac{\partial \vec{v}}{\partial t} + (\vec{v} \cdot \nabla) \vec{v} \right] = -\nabla p - \rho \nabla \Psi + \rho \nu \nabla^2 \vec{v}, \quad (1.5)$$

181 donde  $\nu = \frac{\mu}{\rho}$  es la viscosidad cinemática. En términos generales, el momentum se  
182 difunde una distancia del orden  $\sqrt{\nu t}$  metros en  $t$  segundos como consecuencia de  
183 la viscosidad. La viscosidad cinemática del agua a 20°C es de aproximadamente  
184  $1.0 \times 10^{-6} \text{ m}^2/\text{s}$  [?]. De ello se deduce que la difusión del momento viscoso en agua  
185 es un proceso relativamente lento.

186 El conjunto completo de ecuaciones que gobiernan a un fluido incompresible en-  
187 tonces son:

$$\nabla \cdot \vec{v} = 0, \quad (1.6)$$

$$\frac{\partial \vec{v}}{\partial t} + (\vec{v} \cdot \nabla) \vec{v} = -\frac{\nabla p}{\rho} - \nabla \Psi + \nu \nabla^2 \vec{v}. \quad (1.7)$$

188 Aquí,  $\rho$  y  $\nu$  son consideradas constantes conocidas, y  $\Psi(\vec{r}, t)$  la asumiremos como  
 189 una función conocida. Por lo tanto, tenemos cuatro ecuaciones: la ecuación ??,  
 190 además de las tres componentes de la ecuación ??, para cuatro incógnitas, que serian,  
 191 la presión,  $p(\vec{r}, t)$  y las tres componentes de la velocidad,  $\vec{v}(\vec{r}, t)$ . Debemos tener en  
 192 cuenta que una ecuación de conservación de energía es redundante en el caso de flujo  
 193 de fluido incompresible.

### 194 1.1.1 Ondas de superficie

195 Consideremos un volumen de agua contenido por un recipiente, el cual posee una  
 196 profundidad  $d$ , sobre la superficie del planeta tierra. Asumiendo que este cuerpo es  
 197 lo suficientemente pequeño en comparación con la Tierra, tal que su superficie im-  
 198 perturbable es aproximadamente plana. Con la coordenada cartesiana  $z$  orientada en  
 199 la vertical, con  $z = 0$  correspondiente a la superficie antes mencionada. Supongamos  
 200 que una onda de pequeña amplitud se propaga horizontalmente a través del agua,  
 201 siendo  $v(r, t)$  el campo de velocidades asociado.

202 Debido a que el agua es un liquido en esencia incompresible, las ecuaciones de  
 203 movimiento están descritas por ?? y ??, las cuales podemos reescribir como:

$$\nabla \cdot \vec{v} = 0, \quad (1.8)$$

$$\rho \frac{\partial \vec{v}}{\partial t} + \rho(\vec{v} \cdot \nabla) \vec{v} = -\nabla p - \rho g \hat{e}_z + \mu \nabla^2 \vec{v}, \quad (1.9)$$

204 donde  $g$  es la aceleración debida a la gravedad terrestre y se ha reemplazado  $\nabla \Psi = g \hat{e}_z$   
 205 el potencial gravitatorio. La presión la podemos escribir

$$p(\vec{r}, t) = p_0 - \rho g z + p_1(\vec{r}, t), \quad (1.10)$$

206 siendo  $p_0$  es la presión atmosférica y  $p_1$  la presión de perturbación debida a la onda.  
 207 En ausencia de la onda, la presión del agua a una profundidad  $h$  por debajo de la  
 208 superficie es  $p_0 + \rho g h$ . Sustituyendo en ?? y despreciando los términos de segundo  
 209 orden, tenemos

$$\rho \frac{\partial \vec{v}}{\partial t} \simeq -\nabla p_1 + \mu \nabla^2 \vec{v}, \quad (1.11)$$

210 Por otra parte, despreciando la viscosidad, lo cual no es seria un error si con-

211 sideramos que, por ejemplo, para el agua la viscosidad es despreciable siempre que  
 212  $\lambda \gg \left(\frac{v^2}{g}\right)^{\frac{1}{3}} \sim 5 \times 10^{-5} \text{m}$ . Así la ecuación ?? se reduce a

$$\rho \frac{\partial \vec{v}}{\partial t} \simeq -\nabla p_1. \quad (1.12)$$

213 Si tomamos el rotor de esta ecuación obtenemos que

$$\rho \frac{\partial \vec{\omega}}{\partial t} \simeq 0, \quad (1.13)$$

214 siendo  $\vec{\omega} = \nabla \times \vec{v}$  la vorticidad. Lo que nos dice que el campo de velocidad asociado  
 215 con la onda es irrotacional. La ecuación ?? puede ser satisfecha haciendo

$$\vec{v} = \nabla \phi, \quad (1.14)$$

216 donde  $\phi(\vec{r}, t)$  es el potencial de velocidad. Sin embargo, aplicando esto a la ecuación  
 217 ??, se obtiene que el potencial de velocidad satisface la ecuación de Laplace,

$$\nabla^2 \phi = 0. \quad (1.15)$$

218 Finalmente, de las ecuaciones ?? y ?? se obtiene que la presión en superficie pertur-  
 219 bada es

$$p_1 = -\rho \frac{\partial \phi}{\partial t}. \quad (1.16)$$

#### 220 1.1.1.1 Condiciones de borde

221 Ahora debemos considerar las condiciones físicas a ser satisfechas en los limites su-  
 222 perior e inferior del agua. El agua está delimitada por la parte de abajo por una  
 223 superficie sólida situada en  $z = -d$ . Dado que el agua debe permanecer siempre  
 224 en contacto con esta superficie, la restricción física adecuada en el límite inferior es  
 225  $v_z|_{z=-h} = 0$ , es decir, la velocidad normal es cero en el límite inferior, o lo que es lo  
 226 mismo

$$v_z|_{z=-h} = \left. \frac{\partial \phi}{\partial z} \right|_{z=-d} = 0. \quad (1.17)$$

227 El límite superior del agua es un poco más complicado, debido a que es una  
 228 superficie libre. Considerando  $\zeta$  como el desplazamiento vertical de esta superficie

229 debido a la onda, tenemos que

$$v_z|_{z=0} = \frac{\partial \phi}{\partial z} \Big|_{z=0} = \frac{\partial \zeta}{\partial t}. \quad (1.18)$$

230 La restricción física adecuada para el límite superior es que la presión del agua  
 231 debe ser igual a la presión atmosférica, ya que no puede haber una discontinuidad de  
 232 presión a través de una superficie libre, esto en ausencia de la tensión superficial. En  
 233 consecuencia, a partir de la ecuación ??, obtenemos

$$p_1|_{z=0} = \rho g \zeta, \quad (1.19)$$

234 lo cual implica que

$$\frac{\partial p_1}{\partial t} \Big|_{z=0} = \rho g \frac{\partial \zeta}{\partial t} = - \rho g \frac{\partial \phi}{\partial z} \Big|_{z=0}, \quad (1.20)$$

235 donde también se ha empleado la ecuación ?. Combinando esta expresión con la  
 236 ecuación ?? obtenemos,

$$\frac{\partial \phi}{\partial z} \Big|_{z=0} = -g^{-1} \frac{\partial^2 \phi}{\partial^2 t} \Big|_{z=0}, \quad (1.21)$$

237 la cual es la condición para la superficie libre [?].

238 Suponiendo una solución a la ecuación de onda ?? de la forma

$$\phi(\vec{r}, t) = F(z) \cos(\omega t - kx). \quad (1.22)$$

239 esta solución corresponde en realidad a la propagación de onda plana de vector de  
 240 onda  $\vec{k} = k\hat{e}_x$ , frecuencia angular  $\omega$  y amplitud  $F(z)$ . Sustituyendo en la ecuación  
 241 ??, obtenemos,

$$\frac{d^2 F}{dz^2} - k^2 F = 0, \quad (1.23)$$

242 cuyas soluciones independientes son  $e^{(+kz)}$  y  $e^{(-kz)}$ . Por lo tanto, una solución general  
 243 de ?? toma la forma

$$\phi(x, z, t) = Ae^{kz} \cos(\omega t - kx) + Be^{-kz} \cos(\omega t - kx), \quad (1.24)$$

244 donde  $A$  y  $B$  son constantes arbitrarias. La condición de frontera ?? satisface la

condición de que  $B = Ae^{(-2kd)}$ , dando

$$\phi(x, z, t) = A [e^{kz} + e^{-k(z+2d)}] \cos(\omega t - kx), \quad (1.25)$$

la condición de frontera ?? produce entonces

$$Ak (1 - e^{-2kz}) \cos(\omega t - kx) = A \frac{\omega^2}{g} (1 + e^{-2kz}) \cos(\omega t - kx), \quad (1.26)$$

la cual se reduce a la relación de dispersión

$$\omega^2 = gk \tanh(kd). \quad (1.27)$$

### 1.1.1.2 Energía de las ondas de gravedad

La velocidad de fase es la velocidad aparente de una fase determinada de una onda.

La velocidad de fase está dada en términos de la frecuencia angular de la onda  $\omega$  y del vector de onda  $k$ , por la relación [?],

$$v_p = \frac{\omega}{k}, \quad (1.28)$$

Empleando la ecuación ?? podemos escribir la velocidad de fase de una onda de gravedad que se propagando horizontalmente a través de un volumen de agua de profundidad  $d$  como,

$$v_p = (gd)^{1/2} \left[ \frac{\tanh(kd)}{kd} \right]^{1/2}. \quad (1.29)$$

La tasa a la cual viaja la energía almacenada en la onda es la velocidad de grupo, la cual podemos escribir como [?],

$$v_g = \frac{\partial \omega}{\partial k} \quad (1.30)$$

así, empleando la ecuacion ?? se tiene que,

$$v_g = \frac{1}{2} \frac{(g \tanh(kd) + gkd(1 - \tanh^2(kd)))}{\sqrt{(gk \tanh(kd))}}, \quad (1.31)$$

además, la razón entre la velocidad de grupo y la velocidad de fase es

$$\frac{v_p}{v_g} = \frac{1}{2} \left[ 1 + \frac{2kd}{\sinh(2kd)} \right]. \quad (1.32)$$

259 Se debe tener en cuenta que ni la velocidad de fase ni la velocidad de grupo de  
 260 una onda de gravedad pueden exceder un cierto valor critico  $(gd)^{\frac{1}{2}}$ . Por otra parte, el  
 261 campo de desplazamiento y el campo de velocidad asociados a una onda de gravedad  
 262 plana de número de onda  $k\hat{e}_x$ , frecuencia angular  $\omega$ , y amplitud  $a$ , son

$$\xi_x(x, z, t) = -a \frac{\cosh[k(z+d)]}{\sinh(kd)} \cos(\omega t - kx), \quad (1.33)$$

$$\xi_x(x, z, t) = -a \frac{\cosh[k(z+d)]}{\sinh(kd)} \cos(\omega t - kx), \quad (1.34)$$

$$v_x(x, z, t) = a\omega \frac{\cosh[k(z+d)]}{\sinh(kd)} \sin(\omega t - kx), \quad (1.35)$$

$$v_z(x, z, t) = a\omega \frac{\sinh[k(z+d)]}{\sinh(kd)} \cos(\omega t - kx), \quad (1.36)$$

263 La energía cinética media por unidad de superficie asociada con una onda de gravedad  
 264 se define como

$$K = \left\langle \int_{-d}^{\zeta} \frac{1}{2} \rho v^2 dz \right\rangle, \quad (1.37)$$

265 dónde

$$\zeta(x, t) = a \sin(\omega t - kx) \quad (1.38)$$

266 que es el desplazamiento vertical de la superficie, y

$$\langle \dots \rangle = \int_0^{2\pi} (\dots) \frac{d(kx)}{2\pi} \quad (1.39)$$

267 es un promedio sobre una longitud de onda. Teniendo en cuenta que  $\langle \cos^2(\omega t - kx) \rangle =$   
 268  $\langle \sin^2(\omega t - kx) \rangle = \frac{1}{2}$ , se deduce a partir de las ecuaciones de ?? y ?? que,

$$K = \frac{1}{4} \rho a^2 \omega^2 \int_{-d}^0 \frac{\cosh[2k(z+d)]}{\sinh^2(kd)} dz = \frac{1}{4} \rho a^2 g \frac{\omega^2}{gk \tanh(kd)}. \quad (1.40)$$

269 Haciendo uso de la relación de dispersión general ??, obtenemos



$$K = \frac{1}{4}\rho g a^2. \quad (1.41)$$

270 La energía potencial media de la perturbación por unidad de superficie asociada  
271 a una onda de gravedad se define como

$$U = \left\langle \int_{-d}^{\zeta} \rho g z dz \right\rangle + \frac{1}{2}\rho g d^2, \quad (1.42)$$

272 de donde obtenemos

$$U = \left\langle \frac{1}{2}\rho g (\zeta^2 - d^2) + \frac{1}{2}\rho d^2 \right\rangle = \frac{1}{2}\rho g \langle \zeta^2 \rangle, \quad (1.43)$$

273 o lo que es lo mismo,

$$U = \frac{1}{4}\rho g a^2. \quad (1.44)$$

274 En otras palabras, la energía potencial media por unidad de superficie de una onda  
275 de gravedad es igual a su energía cinética media por unidad de superficie.

276 Finalmente, la energía total media por unidad de superficie asociada a una onda  
277 de gravedad es

$$E = K + U = \frac{1}{2}\rho g a^2. \quad (1.45)$$

278 De donde concluimos que la energía depende de la amplitud de la onda en la superficie,  
279 pero es independiente de la longitud de onda, o la profundidad del agua.

### 280 1.1.1.3 Tensión Superficial

281 Las fuerzas de cohesión entre las moléculas en un líquido se distribuye entre todos los  
282 átomos vecinos. La moléculas en la superficie no tienen por su parte superior átomos  
283 vecinos, exhibiendo fuerzas atractivas más fuertes sobre sus vecinos más cercanos en  
284 la superficie. Dicho en otras palabras, La tensión superficial es la tendencia elástica de  
285 una superficie fluida que hace que adquiera la menor superficie posible. Incorporando  
286 este concepto en nuestro análisis, se puede suponer que la interfaz se encuentra en

$$z = \zeta(x, t), \quad (1.46)$$

287 donde  $|\zeta|$  es pequeña. De este modo, la interfaz imperturbable corresponde al plano  
 288  $z = 0$ . El vector unitario normal a la interfaz esta dado por

$$\hat{n} = \frac{\nabla(z - \zeta)}{|\nabla(z - \zeta)|}. \quad (1.47)$$

289 de esta ecuación obtenemos que

$$n_x \simeq -\frac{\partial \zeta}{\partial x}, \quad (1.48)$$

$$n_z \simeq 1. \quad (1.49)$$

290 Recordando que la ecuación de Young-Laplace es

$$\Delta p = \gamma \nabla \cdot \hat{n}, \quad (1.50)$$

291 donde  $\Delta p$  es el cambio de la presión a través de la interfaz en dirección opuesta a  $\hat{n}$ .

292 A partir de ?? y ??, tenemos

$$\nabla \cdot \hat{n} \simeq -\frac{\partial^2 \zeta}{\partial x^2}. \quad (1.51)$$

293 Por lo tanto, la ecuación ?? da

$$[p]_{z=0-}^{z=0+} = \gamma \frac{\partial^2 \zeta}{\partial x^2}. \quad (1.52)$$

294 Suponiendo que la interfaz se encuentra entre una masa de agua de densidad  $\rho$  y  
 295 profundidad  $d$ , y el ambiente. El agua sin perturbación se encuentra entre  $z = -d$   
 296 y  $z = 0$ , y la atmósfera sin perturbación ocupa la región  $z > 0$ . En el límite, en el  
 297 que se puede despreciar la densidad de la atmósfera, la presión en la atmósfera toma  
 298 el valor fijo  $p_0$ , mientras que la presión justo por debajo de la superficie del agua es  
 299  $p_0 - \rho g \zeta + p_1|_{z=0}$ , siendo  $p_1$  la presión de la perturbación debido a la onda. De esta  
 300 manera la ecuación ?? adopta la forma

$$\rho g \zeta - p_1|_{z=0} = \gamma \frac{\partial^2 \zeta}{\partial x^2}, \quad (1.53)$$

301 donde  $\gamma$  es la tensión superficial en la interfase aire-agua. Sin embargo,  $\frac{\partial \zeta}{\partial t} =$   
 302  $-(\frac{\partial \phi}{\partial z})_{z=0}$ , donde  $\phi$  es el potencial de velocidad perturbado del agua. Así, a par-

303 tir de ??,  $p_1 = -\rho \frac{\partial \phi}{\partial t}$ , la expresión anterior da

$$g \frac{\partial \phi}{\partial z} \Big|_{z=0} + \frac{\partial^2 \phi}{\partial t^2} \Big|_{z=0} = \frac{\gamma}{\rho} \frac{\partial^3 \phi}{\partial z \partial^2 x} \Big|_{z=0}. \quad (1.54)$$

304 Esta relación, es una generalización de la ecuación ??, la cual es la condición a  
 305 satisfacer en una superficie libre tomando en cuenta la tensión superficial. De la  
 306 aplicación de esta condición de frontera a la solución general ??, la cual ya satisface  
 307 la condición de frontera en la parte inferior del volumen de agua, se obtiene la relación  
 308 de dispersión

$$\omega^2 = \left( gk + \frac{\gamma k^3}{\rho} \right) \tanh(kd), \quad (1.55)$$

309 que es una generalización de la ecuación ??, pero considerando la tensión superficial.

310 Tomando en cuenta la tension superficial podemos reescribir la energía cinética  
 311 media por unidad de área y la energía potencial media por unidad de área como

$$K = \frac{1}{4}(\rho g + \gamma k^2)a^2, \quad (1.56)$$

$$U = \frac{1}{4}(\rho g + \gamma k^2)a^2, \quad (1.57)$$

312 respectivamente, y la energía total media por unidad de área es

$$E = \frac{1}{2}(\rho g + \gamma k^2)a^2. \quad (1.58)$$

### 313 1.1.2 Ondas de Faraday

314 Las ondas superficiales que se forman en un líquido contenido en un recipiente cuando  
 315 éste es excitado parametricamente se le suele llamar ondas de Faraday, esto en honor  
 316 a Michael Faraday quien diera por primera vez una descripción de éstas ondas en  
 317 su famosa obra, titulada “On a peculiar class of acoustical figures; and on certain  
 318 forms assumed by groups of particles upon vibrating elastic surfaces.” [?]. Otra de las  
 319 observaciones claves de M. Faraday fue que la ondas estacionarias oscilan a la mitad  
 320 de la frecuencia de excitación, ésta es la llamada respuesta subarmónica. Más de un  
 321 siglo después, esta respuesta subarmónica es explicada por el análisis de estabilidad  
 322 lineal realizado por T.B. Benjamin, F. Ursell [?].

323 En los últimos 25 años, se han realizado numerosos estudios teóricos y experimen-  
 324 tales sobre las ondas de Faraday [?, ?]. El interés teórico en el problema de Faraday  
 325 ha sido impulsado en parte por grandes cantidades de datos experimentales recientes.  
 326 Las ondas de Faraday son un sistema experimental atractivo y conveniente debido  
 327 a los numerosos parámetros de control (las propiedades del fluido, la frecuencia del  
 328 forzamiento, la geometría del contenedor) además de que la escala de tiempo para la  
 329 formación de patrones es típicamente mucho más rápida y fácil de observar que para otros  
 330 sistemas canónicos tales como la convección de Rayleigh-Bénard o la inestabilidad de  
 331 Richtmyer-Meshkov, entre otras.

332 Las ondas de Faraday es el ejemplo canónico de cómo se forman patrones espacio-  
 333 temporales a través de una inestabilidad paramétrica. La mayoría de los trabajos  
 334 experimentales se ha utilizado fluidos newtonianos sometidos a una o dos acelera-  
 335 ciones sinusoidales, y en otros casos se han empleado fluidos viscoelásticos [?], por  
 336 mencionar solo alguno de ellos. Una interesante variación del experimento de Fara-  
 337 day es la excitación de un ferrofluido, generando ondas estacionarias en la superficie  
 338 del ferrofluido mediante la aplicación de corriente alterna y/o directa [Referencias].  
 339 Las ondas estacionarias pueden ser excitados por aplicación simultánea de un campo  
 340 magnético D.C. y una aceleración vertical periódica [55]. Otra variación del prob-  
 341 lema Faraday se obtiene aplicando un gradiente de temperatura vertical, como en el  
 342 caso de la convección de Rayleigh-Bénard convección, simultáneamente con una vi-  
 343 bración vertical [18, 19]. Las inestabilidades paramétricas y la formación de patrones  
 344 no fluida también se producen en sistemas no fluidos tales como en capas granulares  
 345 vibradas verticalmente con una [56, 57, 58] o dos [20] componentes de frecuencia de  
 346 forzamiento.

347 En muchos casos teóricos se han utilizado modelos de ecuaciones diferenciales par-  
 348 ciales para estudiar la inestabilidad paramétrica en un marco general. Estos estudios  
 349 incluyen investigaciones de la dinámica en la ecuación no lineal de Mathieu con depen-  
 350 dencia espacial [59, 60], en la formación de patrones en la ecuación Swift-Hohenberg  
 351 [61], y en la inestabilidad de Faraday en las ecuaciones Grossman-Pitaevskii mode-  
 352 lando un condensado de Bose-Einstein sometido a un campo electromagnético tem-  
 353 poralmente periódica [62], por nombrar algunos.

354 [?]

## 355 **1.2 Análisis Lineal**

356 Aquí se describo los papers lineales, escribiendo las ecuaciones más representativas y  
357 los resultados de autores previos. Aquí debería también entrar algo sobre ecuaciones  
358 de Mathieu.

## 359 **1.3 Análisis No-lineal**

360 Lo mismo de arriba pero incluyendo no-linealidad.

## 361 **1.4 Simulaciones numéricas**

362 Aquí describo brevemente el trabajo numérico existente sobre patrones de Faraday.